

DOI 10.36074/grail-of-science.17.02.2023.036

ОЦІНКА ВПЛИВУ СТРУМУ НАВАНТАЖЕННЯ НА ТЕМПЕРАТУРУ НАГРІВАННЯ КАБЕЛЬНИХ ВИРОБІВ У ПРОЦЕСІ ЕКСПЛУАТАЦІЇ

НАУКОВО-ДОСЛІДНА ГРУПА:

Катунін Альберт Миколайович 

канд. техн. наук, ст. наук. спів.,

викладач факультету пожежної безпеки

Національний університет цивільного захисту України, Україна

Кулаков Олег Вікторович 

канд. техн. наук, доцент,

науковий співробітник науково-дослідного центру

Національний університет цивільного захисту України, Україна

Рудаков Сергій Валерійович 

канд. техн. наук, доцент,

доцент факультету пожежної безпеки

Національний університет цивільного захисту України, Україна

Панасенко Сергій Вікторович 

науковий співробітник – інженер-випробувач науково-дослідної лабораторії

Державний науково-дослідний інститут випробувань і сертифікації озброєння та військової техніки, Україна

Анотація. В роботі проведено оцінювання впливу струму навантаження на температуру нагрівання кабельних виробів у процесі експлуатації при різних значеннях товщини ізоляції. Проаналізовано особливості експлуатації даного кабельного виробу для різних значень струмів навантаження.

Ключові слова: кабельний виріб, температура нагрівання, товщина ізоляції, струм навантаження.

Вступ. На цей час темпи зростання ефективності виробництв супроводжуються підвищенням обсягів споживання електричної енергії, розвитком електричних мереж, збільшенням асортименту кабельних виробів.

Забезпечення безпеки при експлуатації електричних мереж є одним з пріоритетів.

Одним із основних небезпечних проявів електричного струму з погляду пожежної небезпеки є його теплова дія [1-3]. Провідники, якими тече струм більший, ніж струм на який вони розраховані, перегріваються. При цьому, можуть досягатися значення температури, які призводять до займання ізоляції кабельного виробу, що може спричинити пожежу [1-4]. Температура кабельного виробу залежить від сили струму, що протікає, від температури навколошнього середовища, діаметра жили та ізоляції провідника, теплообміну з навколошнім середовищем, питомого опору матеріалу провідника, часу аварійного режиму роботи тощо [4]. Тому оцінка нагрівання кабельних виробів у процесі експлуатації є актуальною задачею забезпечення пожежної безпеки.

Основна частина. В роботі [4] запропоновано удосконалення моделі оцінки нагрівання кабельних виробів у процесі експлуатації. Співвідношення має наступний вигляд:

$$T(t) = T_n + \frac{T_n}{\phi_2} \left[\phi_3 (\omega - 1)t + \phi_3^2 \omega (\omega - 1) \frac{t^2}{2!} + \phi_3^3 \omega (\omega - 1)(3\omega - 2) \frac{t^3}{3!} \right], \quad (1)$$

$$\omega = \frac{\delta_1(\delta_3 + \delta_5)}{(1 + \delta_4)(\delta_6 - \delta_2)} + 1, \quad (2)$$

$$\phi_2 = \frac{\delta_3 + \delta_5}{1 + \delta_4}, \quad (3)$$

$$\phi_3 = \frac{\delta_6 - \delta_2}{1 + \delta_4}, \quad (4)$$

$$\delta_1 = \frac{I^2 \rho_{\infty 0}}{\pi^2 r_{\infty}^4 \gamma_{\infty} C_{\infty 0} T_n}, \quad (5)$$

$$\delta_2 = \frac{I^2 \rho_{\infty 0} \alpha}{\pi^2 r_{\infty}^4 \gamma_{\infty} C_{\infty 0}}, \quad (6)$$

$$\delta_3 = T_n \phi_{\infty}, \quad (7)$$

$$\delta_4 = \frac{\gamma_{iz} \pi (\Delta r_{iz}^2 + 2r_{\infty} \Delta r_{iz}) C_{iz0}}{\gamma_{\infty} \pi r_{\infty}^2 C_{\infty 0}}, \quad (8)$$

$$\delta_5 = \frac{\gamma_{iz} \pi (\Delta r_{iz}^2 + 2r_{\infty} \Delta r_{iz}) C_{iz0} \varphi_{iz} T_n}{\gamma_{\infty} \pi r_{\infty}^2 C_{\infty 0}}, \quad (9)$$

$$\delta_6 = \frac{2\pi(r_{\infty} + \Delta r_{iz}) a}{\gamma_{\infty} \pi r_{\infty}^2 C_{\infty 0}}. \quad (10)$$

де I – сила струму, A ;

ρ_{∞} – довжина провідника, m ;

$\rho_{\infty 0}$ – початкове значення питомого електричного опору матеріалу жили кабельного виробу, що відповідає начальному моменту часу $T = T_0$, $\Omega \cdot м$;

S_{∞} – площа поперечного перерізу жили, $м^2$;

γ_{iz} – щільність матеріалу ізоляції, $кг/м^3$;

S_{i3} – площа поперечного перерізу ізоляції, м^2 ;
 C_{i30} – початкове значення теплоємності матеріалу ізоляції, що відповідає
 начальному моменту часу $T = T_0$, $\text{Дж}/\text{град.}$;
 γ_{j3} – щільність матеріалу жили, $\text{кг}/\text{м}^3$;
 C_{j30} – початкове значення теплоємності матеріалу жили, що відповідає
 начальному моменту часу $T = T_0$, $\text{Дж}/\text{град.}$;
 r_{k3} – радіус кабельного виробу від центру жили до поверхні ізоляції, м ;
 a – коефіцієнт теплопередачі від ізоляції до повітря, $\text{Вт}/\text{м}^2 \text{ град.}$;
 T_n – температура повітря, град. ;
 $\alpha, \varphi_{j3}, \varphi_{i3}$ – термічні коефіцієнти.

Модель дозволяє проводити аналіз впливу параметрів кабельних виробів на температуру їх нагрівання в процесі їх експлуатації при заданих значеннях струмів навантаження.

Відповідні оцінки здійснимо для проводу марки ПВ (1x2,5). Для часу навантаження $t = 300$ с та струмів $I = 30...60$ А використаємо наступні вхідні дані:

$$\begin{aligned}
 r_{j3} &= 8,9 \times 10^{-4} \text{ м}; \\
 \Delta r_{i3} &= 7 \times 10^{-4}; 10^{-3}; 1,3 \times 10^{-3} \text{ м}; \\
 \varphi_{j3} &= 0,000257; \\
 \varphi_{i3} &= 0,0003; \\
 \gamma_{j3} &= 1350 \text{ кг}/\text{м}^3; \\
 \gamma_{j3} &= 8960 \text{ кг}/\text{м}^3; \\
 C_{j3} &= 373 \text{ Дж}/\text{град}; \\
 C_{i3} &= 1200 \text{ Дж}/\text{град}; \\
 a &= 0,003 \text{ Вт}/\text{м}^2; \\
 \alpha &= 0,00433; \\
 T_n &= 20^\circ\text{C}; \\
 \rho_{j30} &= 0,0000000189 \text{ Ом}.
 \end{aligned}$$

Відповідні графіки часових залежностей температури нагрівання проводу марки ПВ (1x2,5) для заданих значень товщини слою ізоляції при різних значеннях струму навантаження наведено на рис. 1- 3.

Аналіз отриманих графіків дозволяє сформувати наступні висновки:

- температура нагрівання проводу в процесі експлуатації для всіх заданих значень товщини слою ізоляції суттєво залежить від струму навантаження;
- для всіх значень струму навантаження температурно-часові характеристики експлуатації проводу ідентичні та мають нелінійний характер;
- з часом вплив струму навантаження на підвищення температури проводу в процесі нагрівання посилюється для всіх значень товщини ізоляції: так при експлуатації проводу із товщиною ізоляції $\Delta r_{i3} = 7 \times 10^{-4}$ м він за 100 с нагрівається до значень температури $56,5^\circ\text{C}$; $81,1^\circ\text{C}$; $108,5^\circ\text{C}$; $136,9^\circ\text{C}$; за 200 с – до значень температури $87,6^\circ\text{C}$; $126,9^\circ\text{C}$; $166,7^\circ\text{C}$; $208,3^\circ\text{C}$; за 300 с – до значень температури $114,1^\circ\text{C}$; $162,9^\circ\text{C}$; $213,8^\circ\text{C}$; $290,4^\circ\text{C}$ для струмів навантаження $I = 30$; 40 ; 50 ; 60 А відповідно (рис. 1);

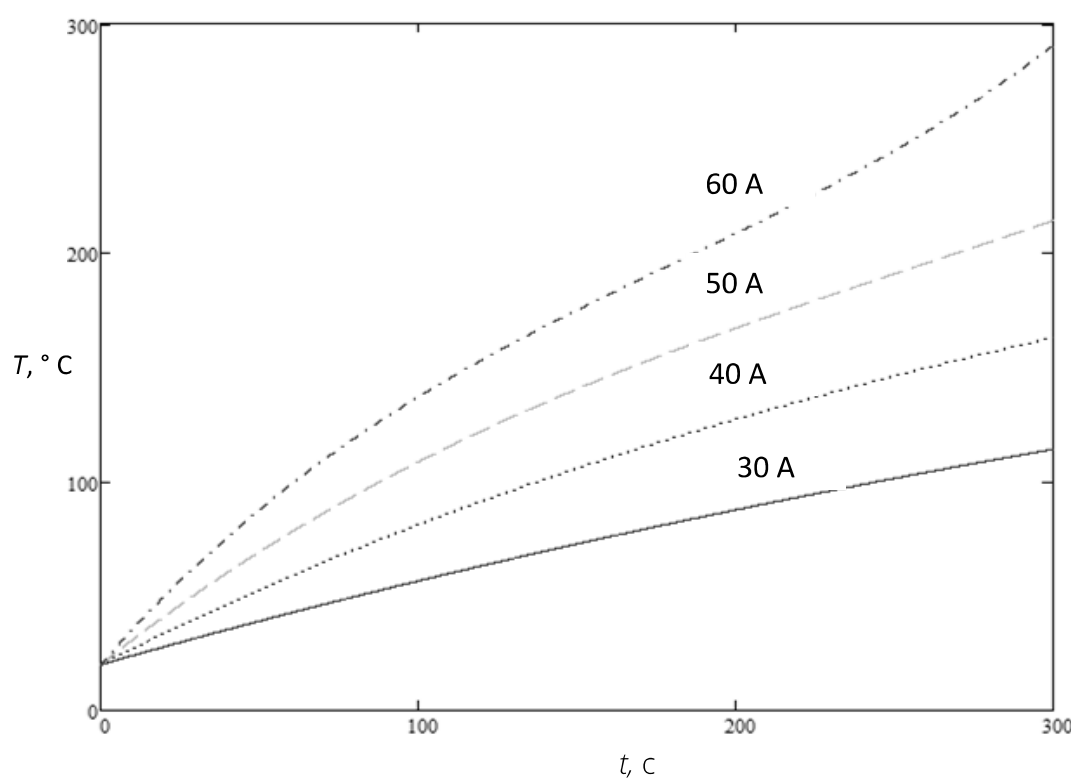


Рис. 1. Температурно-часова характеристика експлуатації проводу ПВ (1x2,5) для товщини ізоляції $\Delta r_b = 7 \times 10^{-4}$ м та струмів навантаження $I = 30; 40; 50; 60$ А.

СЕКЦІЯ ІХ. ПОЖЕЖНА ТА ЦИВІЛЬНА БЕЗПЕКА

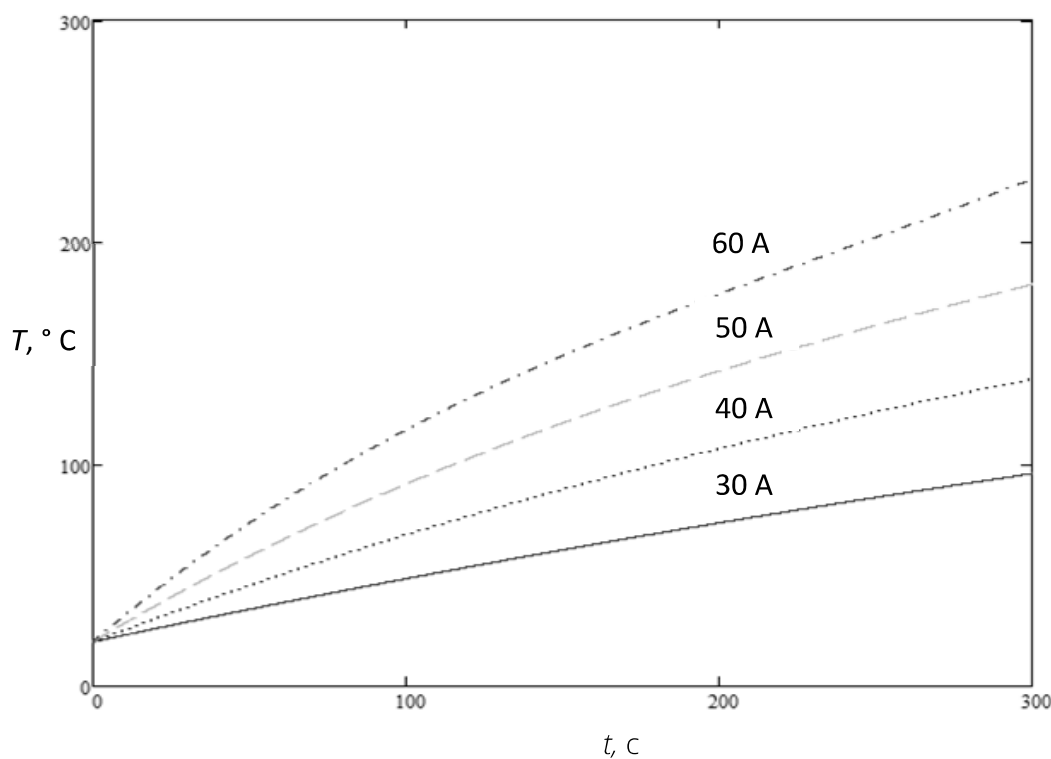


Рис. 2. Температурно-часова характеристика експлуатації проводу ПВ (1x2,5) для товщини ізоляції $\Delta r_b = 10^{-3}$ м та струмів навантаження $I = 30; 40; 50; 60$ А.

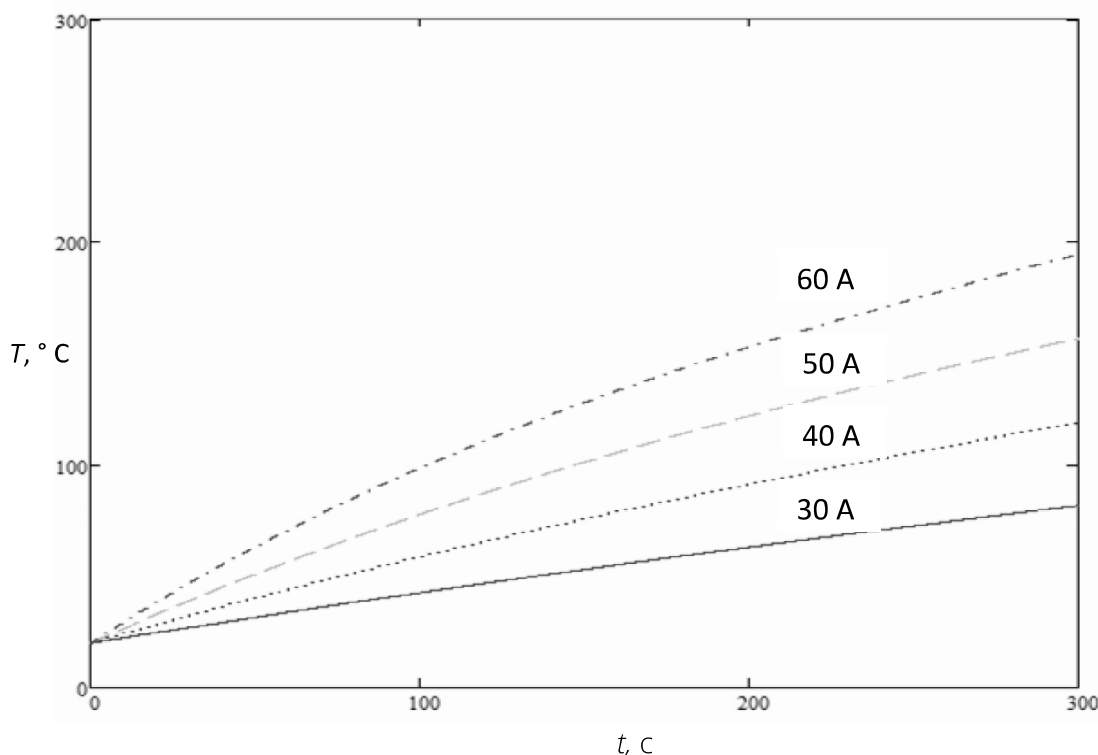


Рис. 3. Температурно-часова характеристика експлуатації проводу ПВ (1x2,5) для товщини ізоляції $\Delta r_{iz} = 1,3 \times 10^{-3}$ м та струмів навантаження $I = 30; 40; 50; 60$ А.

- збільшення товщини ізоляції проводу Δr_{iz} дозволяє знижувати вимоги до обмеження значень струмів навантаження I в процесі експлуатації: так при експлуатації проводу із товщиною ізоляції $\Delta r_{iz} = 7 \times 10^{-4}$ м він за 200 с нагрівається до значень температури $87,6^{\circ}\text{C}; 126,9^{\circ}\text{C}; 166,7^{\circ}\text{C}; 208,3^{\circ}\text{C}$ (рис. 1); із товщиною ізоляції $\Delta r_{iz} = 10^{-3}$ м – до значень температури $73,5^{\circ}\text{C}; 106,9^{\circ}\text{C}; 141,9^{\circ}\text{C}; 176,6^{\circ}\text{C}$ (рис. 2); із товщиною ізоляції $\Delta r_{iz} = 1,3 \times 10^{-3}$ м – до значень температури $63,0^{\circ}\text{C}; 91,2^{\circ}\text{C}; 121,8^{\circ}\text{C}; 152,7^{\circ}\text{C}$ (рис. 3) для струмів навантаження $I = 30; 40; 50; 60$ А відповідно;

- з часом вплив товщини ізоляції Δr_{iz} на підвищення температури проводу в процесі нагрівання посилюється.

Висновки. В роботі на основі математичного моделювання отримано графіки часових залежностей температури нагрівання кабельного виробу - проводу марки ПВ (1x2,5) для заданих значень товщини слою ізоляції при різних значеннях струму навантаження. Для часу навантаження $t = 300$ с проаналізовано особливості експлуатації кабельного виробу для різних значень струмів навантаження.

Список використаних джерел:

- [1] Катунін А.М., Олійник В.В., Кулаков О.В. & ін. (2022). Удосконалення моделі теплового старіння ізоляції кабельних виробів // INTERNATIONAL SCIENTIFIC JOURNAL GRAIL OF SCIENCE. № 17 (липень, 2022). - С. 181-185. <http://repositsc.nuczu.edu.ua/handle/123456789/15692>.

- [2] Катунін А.М., Кулаков О.В., Коломійцев О.В. & ін. (2022). Оцінка терміну пожежобезпечної експлуатації ізоляції кабельних виробів // Розвиток наукової думки постіндустріального суспільства: сучасний дискурс /м. Вінниця, 2022 р. / Міжнародний центр наукових досліджень. — Вінниця: Європейська наукова платформа, 2022. — С. 122-126. <http://repositsc.nuczu.edu.ua/handle/123456789/15693>.
- [3] Катунін А.М., Роянов О.М. Аналіз особливостей теплового старіння ізоляції кабельних виробів // Матеріали Міжнародної науково-практичної конференції «Проблеми пожежної безпеки 2022» («Fire Safety Issues 2022»). – Х.: НУЦЗ України, 2022. – С.20-21. <http://repositsc.nuczu.edu.ua/handle/123456789/16189>.
- [4] Катунін А. М., Коломійцев О. В., Олійник В.В. & ін. (2023). Удосконалення моделі оцінки нагрівання кабельних виробів у процесі експлуатації // Матеріали III Міжнародної наукової конференції «Міжгалузеві диспути: динаміка та розвиток сучасних наукових досліджень». м. Хмельницький, Україна . С. 164-167.